

# DC ÇEKME İLKESİYLE ÇALIŞAN BİR AKTİF MANYETİK YATAĞIN TASARIMI VE BENZETİMİ

Ahu Ece HARTAVİ<sup>1</sup>

Özgür ÜSTÜN<sup>2</sup>

R.Nejat TUNÇAY<sup>3</sup>

<sup>1,2,3</sup> Elektrik Mühendisliği Bölümü

Elektrik-Elektronik Fakültesi

İstanbul Teknik Üniversitesi, 80626, Maslak, İstanbul

<sup>1</sup>e-posta: hartavi@elk.itu.edu.tr

<sup>2</sup> e-posta: ustun@elk.itu.edu.tr

<sup>3</sup> e-posta: tuncay@elk.itu.edu.tr

Anahtar sözcükler: Manyetik yatak, Sonlu elemanlar analizi, Benzetim

## ABSTRACT

This paper presents the design, simulation and control of dc attraction type electromagnetic bearing. Initially, single dimension magnetic model and relevant electrodynamic equations are developed. Later, this model is optimized with FEM analysis. A test model is constructed, and the VisSim™ dynamic model is formed. Finally, the dynamic response of this electromagnetic bearing, which is controlled horizontally is presented for x-axis position control.

## 1. GİRİŞ

Manyetik yatak sistemleri günümüzde bilim ve teknoloji çevrelerinin üzerinde yoğun olarak çalıştığı konulardan biridir. Manyetik yataklar bir milin veya rotorun manyetik alanının oluşturduğu kuvvetler yardımı ile hiçbir fiziksel temas olmaksızın havada aslı kalmasını sağlayan düzenlerdir. Bu sayede geleneksel yataklarla sistemlerinin neden olduğu sürtünme, ısırma, kirlenme gibi olumsuz özelliklerin ortadan kaldırmasını sağlarlar [1].

Manyetik yataklar yapısal özellikleri açısından üç ana sınıfta toplanırlar: pasif, aktif ve karma manyetik yataklar. Pasif manyetik yataklarda sürekli mıknatıslar, aktif manyetik yataklarda ise hem elektromıknatıslar hem de sürekli mıknatıslar birlikte kullanılmaktadır [2].

Manyetik yatak ve askı sistemleri kuramının kurucusu kabul edilen Earnshaw, 1842 yılında yaptığı çalışmalarında herhangi bir yük yoğunluğunun değişmeyecek bir alan tarafından kararlı olarak tutulamayacağını göstermiştir. Buna karşın manyetik yataklarla ilgili çalışmalar 1930'lu yıllarda başlamıştır [3]. Çalışmalar önceleri pasif sistemler üzerine yoğunlaşsa da, problemleri çözmek için aktif sistemlere yönelmiştir [4]. Ancak etkin denetim

gerektiren aktif manyetik yataklar için, o zaman ki teknoloji yeterli olamamıştır. 1970'lerin ilk yarısından başlayarak patent alımları ve ticari girişimler hız kazanmıştır [4]. Bu girişimlerin sonucu olarak manyetik yatakların uygulama alanları genişlemiştir. Böylece yüksek verimliliğin ve güvenirliliğin önemi olduğu, özellikle uzay uygulamalarında çekici bir hale gelmiştir.

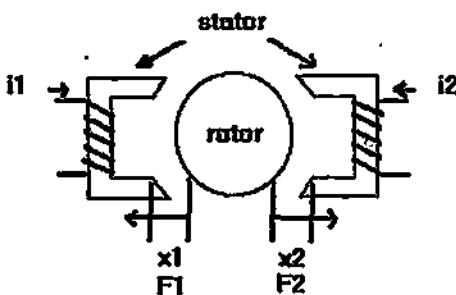
Günümüzde, manyetik yataklar ticari olarak piyasaya sunulmakta ve geliştirme çalışmaları da hız kazanarak sürmektedir. Gelişen teknoloji ile birlikte yeni denetim tekniklerinin uygulamaya geçmesi de gelişimi desteklemektedir. Manyetik yataklar yüksek hızlı elektrik makinaların da, sıvı helyum pompalarında, kompresörlerde, kayıpların en az olmasının istendiği uzay gemileri ve uydular için enerji depolayan sistemlerde, yüksek sıcaklıklara çıkan ortamlarda ve daha bir çok yerde kullanım alanı bulmaktadır [5].

Bu çalışmada aktif manyetik yatağın (AMY) matematiksel modeli verilerek doğrusal olmayan yapısı ortaya konulmuş, bu model yardımı ile sistemin tasarımının hangi parametrelerle bağlı olduğu gösterilmiş, tasarım gerçekleştirilmeden önce VisSim™ programı yardımı ile gerçekleştirilen benzetim sonuçları verilmiş ve son olarak gerçekleştirilen AMY'in Sonlu Elemanlar Yöntemi (SEY) sonuçları ve deneyel sonuçlar verilmiştir.

## 2. AKTİF MANYETİK YATAKLARIN ÇALIŞMA İLKESİ

Bir manyetik yatağın asıl görevi askıda tutulan yapının zorlanmış hareketini istenilen sınırlar dahilinde tutmaktır. AMY'lari pasif sistemlere göre çekici kılan en önemli unsurlar ağır yükleri yüksek sıcaklık gibi çok geniş işletme koşullarında kontrol edebilmeleri ve sadece manyetik yatak görevi

görmeyip aynı zamanda kontrol elektronigi yardımı ile tüm yatak kuvvetlerini ve titreşimlerini izlemeye imkan sağlamaalarıdır [6]. Örneğin dönen parçanın durumunu izleyebilir ve kontrolör sayesinde rotorun dengesizliğinin izin verilen sınırlar dahilinde kalması sağlanabiliken motorun ilk yataklanması montaja ilişkin problemlerin belirlenmesinde de kullanılabilir [7]. Dünyadaki en büyük manyetik yatak 1300MW'lik bir turbogenerator'e monte edilmiş olup jeneratörün titreşim kontrolünde kullanılmaktadır [8]. Şekil 1 yarıçapsal AMY'in x-eksenine ilişkin çalışma prensibini göstermektedir.



Şekil 1 Aktif manyetik yatağın x-eksenine ilişkin basitleştirilmiş modeli

Rotorun karsılıklı taraflarında yer alan elektromagnitlerden  $i_b$  akımı geçirildiğinde, elektromanyetik kuvvetler oluşur ve rotor her iki taraftan eşit büyüklükte kuvvetle çekildiği için dengede asılı olarak kalır. Gerçek manyetik yataklarda ise rotor çevresinde her iki eksende hareketi kontrol edebilmek için bir çok elektromagnit bulunmaktadır. Sarımların herhangi birinden kontrol edilmemiş bir akım geçtiğinde rotor, akının olduğu kutba doğru artan bir ivme ile hareket ederek yapışır. Ancak rotor konumunu bilinirse sistemin dengede kalması sağlanır. Bu nedenle AMY'lar da geri besleme kontrolüne ihtiyaç duyulur [9]. Dolayısı ile AMY'lar 3 farklı eğeden meydana gelirler. Bunlardan ilki rotor konumunu ölçmeye yarayan duyarlı, ikincisi cisim uygulanması gereken kuvveti kontrol eden kontrolör ve üçüncüsü ise cisim dengede kalması için gerekli kuvveti sağlayan elektromekanik aksamdır.

### 3. DİNAMİK MODEL

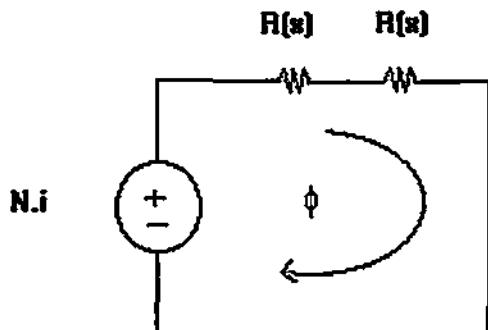
Rotorun x-eksenindeki hareketini Newton'un doğrusal hareket için olan yasasından hareketle

$$m\ddot{x}_1 = F_2 - F_1 \quad (1)$$

denklemi ile ifade edebiliriz. Denklemde yer alan  $F_1$  ve  $F_2$  elektromagnitler tarafından üretilen kuvvetleri, m ise askida tutulan cismin kütlesini göstermektedir.

### 4. MANYETİK KUVVET MODELİ

Sisteme ilişkin manyetik kuvvet modeli Şekil 1'de gösterilen yatağın manyetik eşdeğer devresi yardımı ile gerçekleştiriliyor. Şekil 2'de x-eksenine ilişkin eşdeğer devre gösterilmiştir. Eşdeğer devre modellenirken ferromanyetik malzemenin geçirgenliğinin havanından çok büyük olması nedeni ile incelemelerde kolaylık sağlama açısından manyetik alan şiddetinin iki hava aralığında yoğunluğu varsayılmıştır.



Şekil 2 X-Eksenine ilişkin manyetik eşdeğer devre

Manyetik yatağın her bir kutup yüzeyine ilişkin kesit alanı A ve havanın geçirgenliği de  $\mu_0$  ile ifade edilirse, hava aralığının manyetik direnci

$$R(x) = \frac{x}{\mu_0 \cdot A} \quad (2)$$

denklemi ile ifade edilir. Eşdeğer devreden akan manyetik akı ise:

$$\Phi(i, x) = \frac{\Theta}{\sum R(x)} \quad (3)$$

ifadesinden bulunabilir. Devreden akan akının N sarımlı manyetik devrede oluşturduğu halkalanma akısı  $\Psi$  ise

$$\Psi(i, x) = N \cdot \Phi \quad (4)$$

denklemi ile ifade edilebilir. Elektromagnitlerin rotor üzerine uyguladıkları elektromanyetik kuvvet ifadesi de

$$F_c = \frac{\partial W_c(i, x)}{\partial x} \quad (5)$$

denklemi yardımı ile hesaplanabilir. 4 ve 5 numaralı denklemelerden yararlanılarak hava aralığının  $\delta$  ile

gösterildiği manyetik yatağın x-eksenine ilişkin dinamik modeli

$$m\ddot{x}_1 = k \left[ \left( \frac{i_2}{\delta - x_1} \right)^2 - \left( \frac{i_1}{x_1} \right)^2 \right] \quad (6)$$

ifadesi ile gösterilebilir. AMY'in VisSim™ paket programı yardımı ile benzetimi gerçekleştirilirken Tablo 1'de verilen parametreler ve 6 numaralı denklem kullanılmıştır.

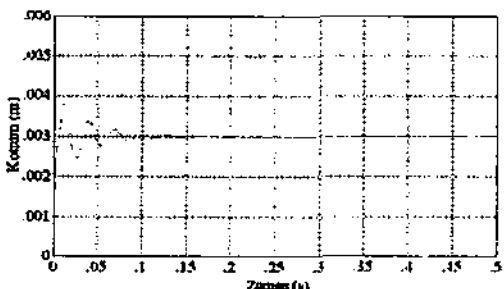
## 5.BENZETİM MODELİ

Sisteme ilişkin benzetim modelinin kurulmasında Visual Solutions şirketine hazırlanan sürekli, ayrik, hızlı ve karma sistemlerin modellerini geliştirmede ve dinamik benzetim sonuçlarını bilgisayarda çalışmada en kapsamlı modelleme ve benzetim olanaklarına sahip olan VisSim™ paket programı kullanılmıştır.

Tablo-1. AMY'in modeline ilişkin parametreler

N	Bir kutbu ilişkin sarım sayısı	30
l	Sar paketi kalınlığı, m	$15 \cdot 10^{-3}$
A	Kutup yüzeyi kesit alanı, $m^2$	$1,2 \cdot 10^{-4}$
δ	Hava aralığı, m	$3 \cdot 10^{-3}$
k	Kuvvet katsayısi, $Nm^2/A^2$	$0,15 \cdot 10^{-6}$
$\mu_0$	Havanın manyetik geçirgenliği, H/m	$4\pi \cdot 10^{-7}$

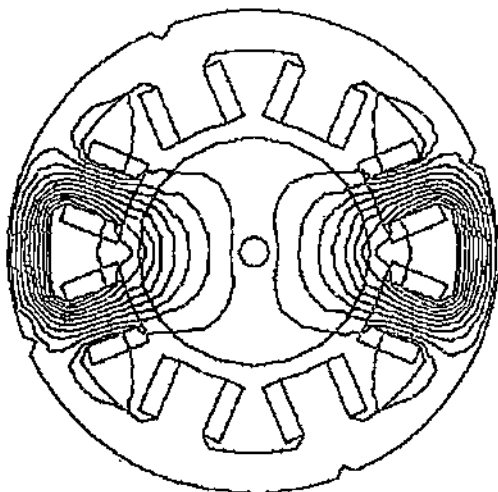
Sisteme ilişkin benzetim modelini gerçekleştirirken sistemin manyetik modelinin yanında AMY'in doğal olarak kararsız bir yapıya sahip olması nedeni ile kapali çevrim kontrol sisteminden yararlanılmıştır. Bu çalışmada doğrusal olmayan manyetik yatağın incelenmesinde ve tasarımında en yaygın olarak kullanılan doğrusal kontrol yöntemi olan PD kontrolör kullanılmıştır. Şekil 3'de AMY'a ilişkin PD kontrolörünün ve sistemin matematiksel modelinin kullanıldığı kapali çevrim blok diyagramı gösterilmiştir. Şekil 4'de ise rotorun bozucu bir etki sonucunda bozulan dengenin nasıl tekrar eski konumuna geldiği gösterilmiştir.



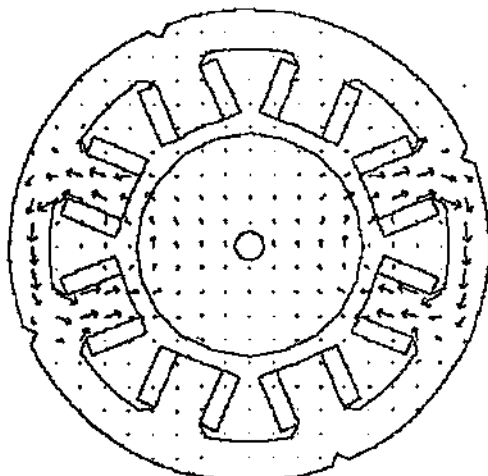
Şekil 4 X-Eksen konum çıkışı

## 6.AMY'IN SONLU ELEMANLAR YÖNTEMİ İLE ALAN İNCELEMESİ

AMY'in SEY yardımı ile incelemesin de Magnet 5.2 sonlu elemanlar paket programı kullanılmıştır. İnceleme, üç etkilerinin göz ardı edilebilecek büyüklükte olduğu kabul edilerek 2 boyutlu olarak gerçekleştirilmiştir. Ayrıca, manyetik alan dağılımının incelemesi manyetik alanın durağan olduğu durum için gerçekleştirilmiştir. Sistemin hem x hem de y-eksenine ilişkin inceleme gerçekleştirilmiş olup Şekil 5 ve 6'da sistemin sadece x-eksenine ait aki çizgileri ve aki yönleri gösterilmiştir.



Şekil 5 X-Eksenine ait aki çizgileri

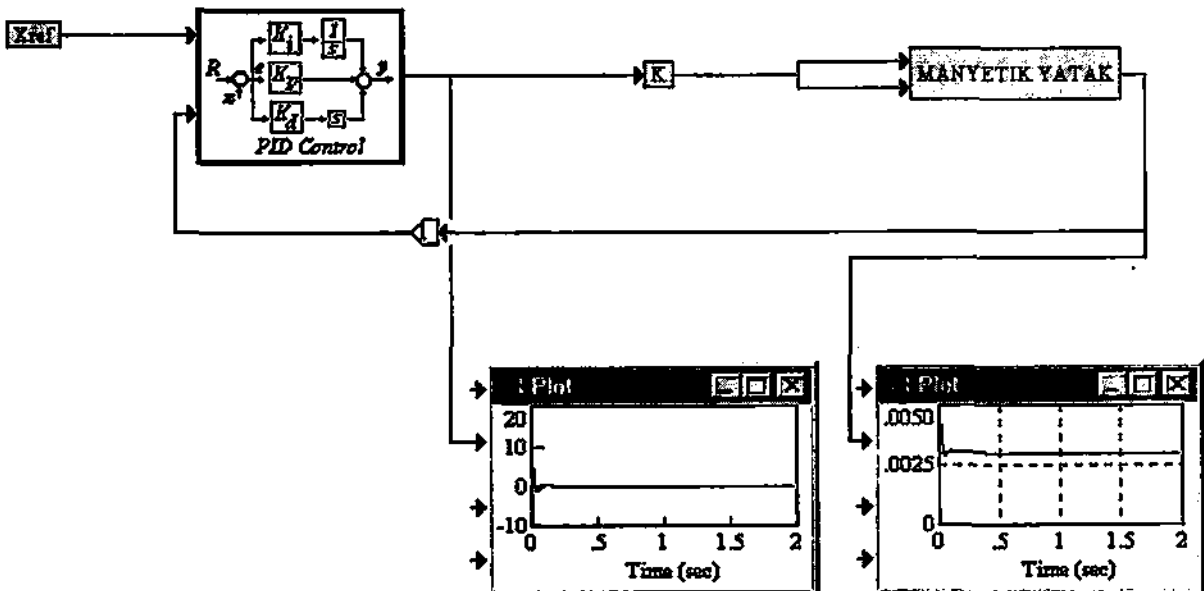


Şekil 6 X-Esenine ait aki yönleri

AMY'nin x-eksenine ilişkin yapılan incelemelerinden sistemin simetrik bir yapıya sahip olduğu görülmektedir. Bu nedenle, x-ekseninde denge

komumundan pozitif veya negatif x-ekseni yönünde gerçekleşeceğ bir kaçılık, bir yönde ki elektromagnitstan k<sub>1</sub> kontrol akımının çıkarılmasına neden olurken diğer taraftaki elektromagnitse eklenmesine neden olur. X-ekseninde pozitif ve

referans bilgisi ile karşılaştırılır. Böylece kontrolör hata ifadesini düzeltmek için gerekli işaretin treteker güç elektronigi devresine uygular. Güç elektronigi katunda tretilen işaret ise gerekli olan kuvveti tretecek



Şekil 3 X-Eksenini

kapali çevrim blok diyagramı

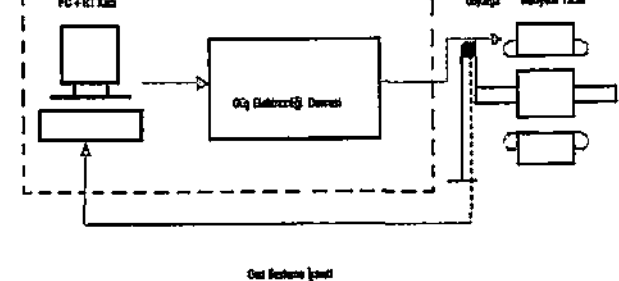
negatif yönde gerçekleşen hareketinin simetrik olması nedeni ile x-ekseni modeli birbirine zıt çalışan keslərəkine benzettilebilir.

İşaret bilgisini elektromagnitlara uygulayarak rotorun dengede kalmasını sağlar.

## 7.DENEY DÜZENEĞİ

AMY'a ilişkin deney düzeneğinde 3 öğe yer almaktadır. Bunlardan ilki rotor komumunu ölçmede kullanılan duyargadır. Rotor komumunu algılamada endüktif, kapasitif ve optik duyargalardan herhangi biri kullanılabilir. Duyarga seçiminde dikkat edilecek en önemli unsur duyarginin cevabının doğrusal olması ve seçilen cihazın doğru bir şekilde düzeneğe tespit edilmesidir. Aksi takdirde duyarga komumun yanlış algılamasına neden olur. İkinci öğe alınan ölçüm bilgilerine göre gereken kuvveti kontrol eden kontrolördür. Sistem için duyarga seçiminde olduğu gibi çok farklı kontrol yöntemleri uygulanabilir. Gerçekleştirilen deney düzeneğinde ise doğrusal kontrol sistemlerinden olan PD kontrolör kullanılmıştır. Sisteme kullanılan üçüncü öğe ise rotorun dengede kalmasını sağlayacak olan elektromekanik yapıdır Şekil 7'de AMY'a ilişkin deney düzeneğinin ilke şeması gösterilmiştir.

Sistemin kontrolü için duyargadan alınan geri besleme işaretin ana denetim bilgisayarında yer alan denetleyiciye girilir. Konum bilgisi burada VisSim programında gerçekleştirilen kontrol devresindeki



Şekil 7 Aktif manyetik yatağın ilke şeması

## 8.SONUÇLAR

Bu çalışmada, mekanik sistemlerde kullanılan alışılagelmiş yataklarının enerji kaybı, ömrü ve güvenilirlik gibi çeşitli açılarından olumsuzluklarının kendini daha etkin bir şekilde hissettiği yüksek hız uygulamaları ve özel uygulamalarda tercih edilen aktif manyetik yatağın matematiksel modeli geliştirilmiş, bu model yardımı ile VisSim ortamında benzetim modeli elde edilmiştir. Tasarılanın yapının SEY ile gerçekleştirilen inceleme sonuçları verilmiş böylece

manyetik yapı eniyileştirilmiştir. Sistemin kararsız yapısı nedeni ile kullanılan kontrolör ile birlikte düzeneğin kontrol modeli ortaya konulmuştur.

Özellikle benzetim sonuçlarından, manyetik yatak performansının denge konumu civarında oldukça iyi olduğu ancak sistemin belirlenen aralıktan uzaklaştiği durumda dengenin nasıl bozulduğu ve kontrol parametrelerinin önemi gözlemlenmiştir. Magnet 5.2 paket programı yardımı ile gerçekleştirilen iki boyutlu manyetik alan incelemesi ise tasarımin doğruluğunu ortaya koymustur.

## TEŞEKKÜR

Yazarlar manyetik yatak tasarımında gösterdikleri yardımlar nedeni ils Semir A.Ş.'ye, Makasan Makine Kalıp San.'ne, Aksan Kalıp San. ve T.A.Ş'ye ve Yeni Yurt San.Tic.Ltd.Şti'ye teşekkür eder.

## KAYNAKLAR

- [1] Jones G., Magnetic Bearings Promise Reduced Operation And Maintenance Costs, NUCLEAR ENGINEERING INTERNATIONAL, pp 67-68, 1990.
- [2] Delamare J., Rulliere E., Yonnet J.P., Classification and Synthesis of Permanent Magnet Bearing Configurations, IEEE TRANSACTIONS ON MAGNETICS, Vol. 31, pp 4190-4192, 1995.
- [3] Hung J.Y., Magnetic Bearing Control Using Fuzzy Logic, IEEE TRANSACTIONS ON INDUSTRY APPLICATIONS, Vol. 31, pp 1492-1497, 1995.
- [4] Yonnet J.P., Passive Magnetic Bearings With Permanent Magnets, IEEE TRANSACTIONS ON MAGNETICS, Vol. 14, pp. 803-805, 1978.
- [5] Harvey M.E., Magnetic Bearing Synthesis For Rotating Machinery, Ph.D Thessis, UNIVERSITY OF VIRGINIA, 1991.
- [6] Habermann H., Liard G.L., Practical Magnetic Bearings, IEEE SPECTRUM, pp. 26-30, 1979.
- [7] Matsumura F., Okada Y., Fujita M., Namerikawa T., State of the Art of Magnetic Bearings, JSME INTERNATIONAL JOURNAL , Vol. 40, pp. 553-559, 1997.
- [8] Antila M., Lantto E., Arkkio A., Determination of Forces and Linearized Parameters of Radial Active Magnetic Bearings By Finite Element Technique, IEEE TRANSACTIONS MAGNETICS, Vol. 34, pp. 684-694, 1998.
- [9] Antila M., Arkkio A., Lantto E., Jokinen T., Active Magnetic Bearings For High-Speed Electric Machines, 3<sup>rd</sup> INTERNATIONAL SYMPOSIUM ON ADVANCED ELECTROMECHANICAL MOTION SYSTEMS, pp. 959-964, 1999.